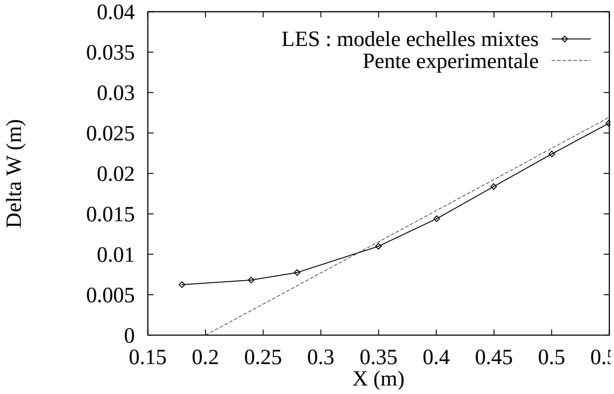

Figure 1: Couche de mélange plane 3D, compressible ($M_c = 0.64$, $Re = 3.\ 10^5$) : évolution longitudinale de l'épaisseur de vorticité (δ_ω).

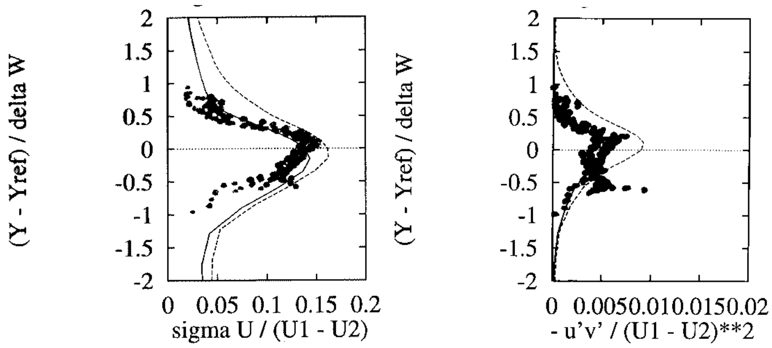

Figure 2: Couche de mélange plane 3D, compressible ($M_c = 0.64$, $Re = 3.\ 10^5$) : profils d'intensité de turbulence longitudinale ($\sqrt{< u"^2 >}/(U_1 - U_2)$, à gauche) et de cisaillement turbulent ($< u"v" > /(U_1 - U_2)^2$, à droite) : —– L.E.S. ; • expériences

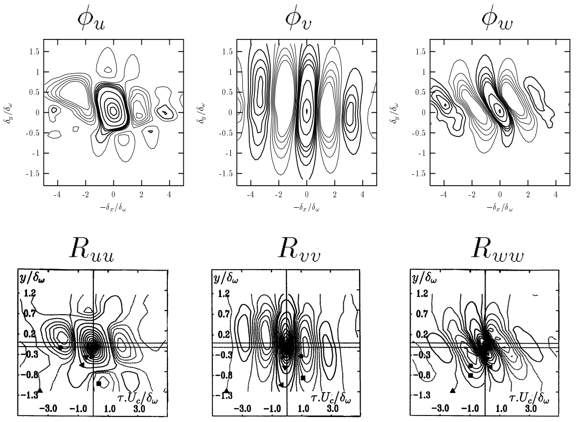

Figure 3: Couche de mélange plane 3D, incompressible : comparaison dans le plan (τ, y) ou $(-x, y)$ des corrélations spatio-temporelles mesurées expérimentalement $R_{ii}(\tau, y, y')$ (en bas) avec les corrélations spatiales obtenues à partir d'une POD scalaire effectuée sur les résultats L.E.S. en ne prenant en compte que les 200 premiers modes (en haut).